

镍对豚鼠心室肌收缩活动及慢反应电位的影响

刘北英, 钮伟真, 曹敬清, 韩大英

(首都医科大学心血管研究室, 北京 100054)

摘要 应用微张力换能及微电极方法观察了镍离子(Ni^{2+})对豚鼠心室肌收缩活动及慢反应电位的影响。结果显示:① $NiCl_2$ 0.05 mmol·L⁻¹有增加收缩活动的倾向,而在大于0.50 mmol·L⁻¹时,收缩活动呈剂量依赖性下降。② Ni^{2+} 能明显抑制正阶梯现象及静息后增强效应,但未使正阶梯现象翻转。③ Ni^{2+} 使慢反应电位的幅度及0期最大上升速率(V_{max})降低。④高浓度 Ni^{2+} 对收缩活动的抑制作用强而持久,且对活动心肌的影响更加明显。上述结果表明: Ni^{2+} 通过多种途径拮抗 Ca^{2+} 而影响心肌的收缩活动,它是一种非特异性的 Ca^{2+} 拮抗剂。而低浓度 Ni^{2+} 增加收缩活动的现象,则提示 Ni^{2+} 对心肌收缩活动的影响可能存在不同的机理。

关键词 镍; 心肌收缩; 动作电位

中图分类号 Q445

文献标识码 A

文章编号:1000-300X(2001)01-0031-04

临幊上早有报道,当心肌梗死和高血压发生时,血清镍离子(Ni^{2+})浓度有明显增加,表明有内源性 Ni^{2+} 的释放^[1,2]。这种异常的 Ni^{2+} 浓度升高可能反过来影响心血管的正常活动,并造成损害。作为二价阳离子, Ni^{2+} 已在心肌的研究中有不少应用,特别是对心肌细胞 Ca^{2+} 的跨膜转运,细胞内 Ca^{2+} 浓度及收缩活动的影响。但所报道的结果不尽相同^[3~7]。作者在离体动物心脏蒲肯野纤维及游离小梁的研究发现, Ni^{2+} 有抑制心肌钠泵活动的作用^[8];初步观察到 Ni^{2+} 可增加动作电位幅度,随灌流时间先后出现动作电位平台和时程的不同变化^[9]。并见到 Ni^{2+}

有增加和降低心肌收缩活动的双重影响。结合他人工作,提示 Ni^{2+} 在心脏不同部位及组织,细胞等不同水平的研究结果可能存在着差异,并可能导致对结果分析的不一致。鉴于上述原因,本工作在豚鼠心室肌标本,进一步观察和分析了 Ni^{2+} 对心室肌收缩活动及慢反应电位的作用及作用机理,取得了一些有益的实验资料。

1 材料和方法

1.1 试剂及动物

$NiCl_2$ (分析纯,北京红星化工厂)。

豚鼠,♂兼用,体重200~250 g,本校动物科学部提供。

1.2 实验方法

全部实验按本室建立的方法进行^[10]。取豚鼠心室内直径在0.2~0.5 mm的游离小梁,固定于灌流槽内。以纯 O_2 饱和的台氏液($mmol \cdot L^{-1}$: NaCl 150.0, KCl 4.0, $CaCl_2$ 1.8, $MgCl_2$ 0.5, HEPES 2.5, 葡萄糖 5.0, pH 7.4),恒温(37℃),恒速(2 mL·min⁻¹)灌流。

调节微张力换能器(IFTS-1,航空航天工业部634所)应变梁,使游离小梁处于最适初长。记录和测量电驱动下的主动收缩张力(active tension, T_A),最大舒张张力(maximal diastolic tension, T_D ,即收缩标本的最大舒张水平基线),及无刺激时的静息张力(resting tension, T_R)。

用普通玻璃微电极经微电极放大器(ISE-1,中科院上海生理研究所)引导出快反应动作电位后,以高 K^+ (18 mmol·L⁻¹ KCl)台氏液获得慢反应动作电位(slow action potential,SAP),记录并测量不同浓度 $NiCl_2$ 作用前后SAP的幅度(APA)及0期最大上升速率(V_{max})。

1.3 统计学处理

全部实验数据以 $\bar{x} \pm s$ 表示,并经配对t检验作统计学分析。

收稿日期:1999-12-28 接受日期:2000-06-23

作者简介:刘北英(1955-),男,辽宁省丹东市人,副教授,硕士,主要从事心血管生理及药理学研究;钮伟真(1947-),男,山东省淄博市人,教授,硕士,主要从事心血管生理及药理学研究;韩大英(1940-),女,北京市人,教授,博士,主要从事心血管生理及心肌电生理学研究。

2 结果

2.1 Ni^{2+} 对豚鼠心室肌主动收缩张力, 静息张力和最大舒张张力的影响

在累积加入 $0.05, 0.1, 0.5, 1.0 \text{ mmol} \cdot \text{L}^{-1}$ NiCl_2 的台氏液灌流下, T_A 的幅度由对照(100%)分别变化为($110 \pm 11\%$) ($72 \pm 14\%$) ($21 \pm 9\%$) 和($2.1 \pm 2.0\%$) (表1)。由上述结果可见, 在低浓度($0.05 \text{ mmol} \cdot \text{L}^{-1}$) Ni^{2+} 的作用下, T_A 有增加的趋势。实际上在22例标本中, 存在着 T_A 增加, 下降和无变化3种情况, 而 T_A 增加的占 14/22。从 $0.1 \text{ mmol} \cdot \text{L}^{-1}$ 开始, T_A 随 Ni^{2+} 浓度的增加而下降。在高浓度($1.0 \text{ mmol} \cdot \text{L}^{-1}$)时, 有7例已不能产生 T_A 。上述变化一般在给予 Ni^{2+} 灌流后 6~10 min 达稳定。在重新给予正常台氏液灌流后, T_A 可恢复。但在高浓度($1.0 \text{ mmol} \cdot \text{L}^{-1}$)时, 恢复过程减慢, 曾在部分标本持续观察 1~2 h 未见恢复至前对照水平。

比较了 Ni^{2+} 对静息标本的 T_R 及 1 Hz 电刺激标本的 T_D 的影响。由表1结果可见, 在给予 0.05 和 $0.1 \text{ mmol} \cdot \text{L}^{-1}$ NiCl_2 灌流时, T_R 和 T_D 均无变化。而在 Ni^{2+} 浓度大于 $0.5 \text{ mmol} \cdot \text{L}^{-1}$ 时, T_R 和 T_D 均有所下降, 其中 T_D 的变化更明显(图1), 表明 Ni^{2+} 对活动心肌的舒张程度影响较大。

Tab 1. Effects of Ni^{2+} on active tension(T_A), resting tension(T_R) and maximal diastolic tension(T_D) in guinea pig ventricular myocardium

NiCl_2 $/\text{mmol} \cdot \text{L}^{-1}$	T_A $/\text{mg}$	T_R $/\text{mg}$	T_D $/\text{mg}$
0	12.4 ± 1.5	0	0
0.05	$13.6 \pm 2.1^*$	0	0
0.1	$9.1 \pm 2.3^{***}$	-0.4 ± 0.2	-0.5 ± 0.2
0.5	$2.7 \pm 1.3^{***}$	-1.2 ± 0.6	$-2.5 \pm 1.2^*$
1.0	$0.3 \pm 0.2^{***}$	-1.7 ± 1.0	$-6.5 \pm 1.9^{***}$

NiCl_2 was accumulatively administrated. $\bar{x} \pm s$, $n = 22$ (T_A), 8(T_R , T_D)。* $P < 0.05$, ** $P < 0.01$, compared with control ($0 \text{ mmol} \cdot \text{L}^{-1}$ NiCl_2) by paired t test.

2.2 Ni^{2+} 对心肌静息后增强效应(post-rest potentiation, PRP)的影响

心肌在静息一段时间后再给予阈上刺激时, 所

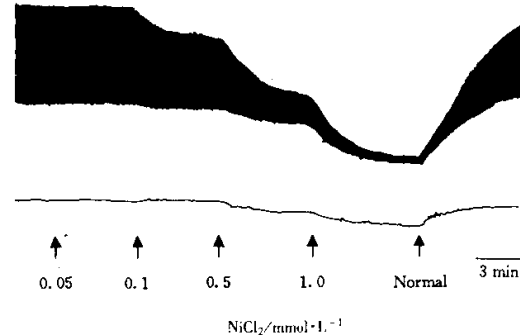


Fig 1. An illustration of effects of Ni^{2+} on resting tension and maximal diastolic tension in guinea pig ventricular myocardium. Upper trace : T_D . Lower trace : T_R . NiCl_2 was accumulatively administrated. Normal : normal Tyrode's solution.

产生的第一个收缩最大, 这种现象为 PRP^[11]。本实验在8例标本给予 $0.5 \text{ mmol} \cdot \text{L}^{-1}$ NiCl_2 灌流后, PRP 下降至给药前的($74 \pm 22\%$)($P < 0.01$)。

2.3 Ni^{2+} 对心肌正阶梯现象(positive staircase phenomena, PSP)的影响

在12例标本观察了 $0.5 \text{ mmol} \cdot \text{L}^{-1}$ NiCl_2 对 PSP 的影响^[11]。由图2可见, Ni^{2+} 能明显抑制 PSP, 但未出现 PSP 翻转。

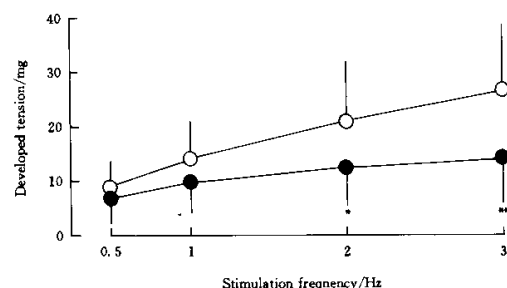


Fig 2. Effect of Ni^{2+} on positive staircase phenomena (PSP) in guinea pig ventricular myocardium. (○) control (Ni^{2+} free), (●) $0.5 \text{ mmol} \cdot \text{L}^{-1} \text{NiCl}_2$. $\bar{x} \pm s$, $n = 12$ 。

* $P < 0.05$, ** $P < 0.01$, compared with control by paired t test.

2.4 Ni²⁺ 对心肌细胞慢反应动作电位的影响

9例标本在引出典型的SAP后,累积给予0.1,0.5及1.0 mmol·L⁻¹ NiCl₂的台氏液灌流。由表2和图3可见,Ni²⁺使SAP的 \dot{V}_{\max} 和APA明显下降,呈剂量依赖性。

Tab 2. Effects of Ni²⁺ on high K⁺-depolarized slow action potentials (SAP) in guinea pig ventricular myocardium

NiCl ₂ /mmol·L ⁻¹	\dot{V}_{\max} /V·s ⁻¹	APA/mV
0	9.5±5.8	69±10
0.1	7.3±4.4	69±11
0.5	4.2±2.6*	57±11*
1.0	3.0±2.3**	50±11***

\dot{V}_{\max} : maximal upstroke velocity of SAP. APA: amplitude of SAP. SAPs were induced by 18 mmol·L⁻¹ KCl. NiCl₂ was accumulatively administrated. $\bar{x} \pm s$, n=9. * P < 0.05, ** P < 0.01, *** P < 0.001, compared with control(0 mmol·L⁻¹ NiCl₂) by paired t test.

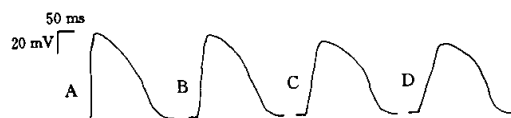


Fig 3. An illustration of effect of Ni²⁺ on slow action potentials in guinea pig ventricular myocardium. SAPs were induced by 18 mmol·L⁻¹ KCl. NiCl₂ was accumulatively administrated. A, B, C, D: NiCl₂ 0, 0.1, 0.5 and 1.0 mmol·L⁻¹, respectively.

3 讨论

以往在心血管系统对Ni²⁺的实验研究中,主要注重的是Ni²⁺对Ca²⁺跨膜运动的影响,因而视其为Ca²⁺拮抗剂,并有不少实验依据。然而近10年来,一些实验研究及临床报道却显示Ni²⁺除了其Ca²⁺拮抗作用外,还存在着多方面的生物学作用^[2,8,12~14]。即便是对Ca²⁺流也可能并非单一的拮抗作用^[2,3]。本室先前的工作亦支持这一观点^[9]。

本实验从心肌收缩活动的不同角度观察到,

Ni²⁺在大于0.1 mmol·L⁻¹浓度时对心肌主动收缩张力呈剂量依赖性抑制作用,可明显抑制PRP及PSP,并观察到慢反应动作电位的 \dot{V}_{\max} 和APA明显减小。这些结果均表明Ni²⁺的Ca²⁺拮抗作用,即其不但对跨膜Ca²⁺流有阻滞作用,而且还对胞内的钙库释放有抑制作用。本实验还发现Ni²⁺不能翻转PSP,则表明Ni²⁺是一种非特异性的Ca²⁺拮抗剂。

本实验显示低浓度的Ni²⁺有增加心肌收缩的倾向,这显然不是Ni²⁺的Ca²⁺拮抗作用。考虑到心肌收缩活动除了Ca²⁺的跨膜流动外,还与胞内Ca²⁺浓度的瞬变,收缩蛋白等因素有关,因而不能排除低浓度的Ni²⁺可能通过某种与收缩有关的机理促进收缩活动。已有报道,Ni²⁺可明显收缩血管^[2],本室先前的工作还见到Ni²⁺对离体血管条的张力具有双相作用^[9],这与低浓度的Ni²⁺增加心肌收缩作用是否有相同之处,还有待进一步研究。

此外,本实验还发现,Ni²⁺在较高浓度(如大于1.0 mmol·L⁻¹)时对心肌收缩活动的抑制作用强而持久,不易洗脱,而且这种抑制作用在活动的标本更加明显。这些现象在镍中毒及长期大量接触镍的人群应予以足够的重视。

4 参考文献:

- [1] McNeely MD, Sunderman FW Jr, Nechay MW, Levine H. Abnormal concentrations of nickel in serum in cases of myocardial infarction, stroke, burns, hepatic cirrhosis, and uremia[J]. *Clin Chem*, 1971, 17(11):1123~1128.
- [2] Rubanyi G, Ligeti L, Koller A. Nickel is released from the ischemic myocardium and contracts coronary vessels by a Ca-dependent mechanism[J]. *J Mol Cell Cardiol*, 1981, 13(11):1023~1026.
- [3] Brommundt G, Kavaler F. La³⁺, Mn²⁺, and Ni²⁺ effects on Ca²⁺ pump and on Na⁺-Ca²⁺ exchange in bullfrog ventricle[J]. *Am J Physiol*, 1987, 253(1 Pt 1):C45~C51.
- [4] Ravens U, Steinmann E, Ziegler A. Effects of gallopamil, nifedipine, Ni²⁺, and La³⁺ in guinea pig atria after a sudden increase in extracellular Ca²⁺ concentration[J]. *J Cardiovasc Pharmacol*, 1987, 10(4):462~473.
- [5] Hayashi H, Satoh H, Noda N, Terada H, Hirano M, Yamashita Y, et al. Simultaneous measurement of intracellular Na⁺ and Ca²⁺ during K⁺-free perfusion in isolated myocyte[J]. *Am J Physiol*, 1994, 266(2 Pt 1):C416~C422.
- [6] Kihara Y, Sasayama S, Inoko M, Morgan JP. Sodium/cal-

- cium exchange modulates intracellular calcium overload during posthypoxic reoxygenation in mammalian working myocardium. Evidence from aequorin-loaded ferret ventricular muscles [J]. *J Clin Invest*, 1994, 93(3):1275–1284.
- [7] Lewartowski B, Emanuel K, Langer GA. Dibucaine displaceable sarcolemmal Ca^{2+} fraction in guinea-pig cardiac myocytes [J]. *J Physiol Pharmacol*, 1998, 49(2):213–227.
- [8] 刘北英, 韩大英, 钮伟真, 赵文颖. Ni^{2+} 对心肌细胞 Na^+ , K^+ 活度及膜钠泵活动的影响 [J]. 中国应用生理学杂志, 1994, 10(3):250–253.
- [9] 刘北英, 曾朴, 陈孝良, 韩大英. 镍对心肌细胞跨膜电位, Na^+ , K^+ 活度及血管平滑肌张力的影响 [A]. 见: 第十八届中国生理学大会学术论文汇编 [C], 第十八届中国生理学大会, 上海, 1989. 生理通讯, 1989, 增刊:152.
- [10] 刘北英, 韩大英, 陈孝良, 赵文颖. 心肌细胞内外离子浓度, 跨膜电位, 肌张力的连续记录 [J]. 中国应
- 用生理学杂志, 1992, 8(4):345–347.
- [11] Temma K, Akera T, Brody TM. Inotropic effects of digitoxin in isolated guinea-pig heart under conditions which alter contraction [J]. *Eur J Pharmacol*, 1981, 76:361–370.
- [12] Rubanyi G, Balogh I, Somogyi E, Kovach AG, Sotonyi P. Effect of nickel ions on ultrastructure of isolated perfused rat heart [J]. *J Mol Cell Cardiol*, 1980, 12(6):609–618.
- [13] Kecskemeti V, Rubanyi G, Kelemen K. Effects of nickel ions on the transmembrane action potential of guinea-pig heart preparation [J]. *J Mol Cell Cardiol*, 1985, 17(5):477–484.
- [14] Eyssen Hernandez R, Ladoux A, Frelin C. Differential regulation of cardiac heme oxygenase-1 and vascular endothelial growth factor mRNA expressions by hemin, heavy metals, heat shock and anoxia [J]. *FEBS Lett*, 1996, 382(3):229–233.

Effects of Ni^{2+} on contractions and slow action potentials in guinea pig ventricular myocardium

LIU Bei-Ying, NIU Wei-Zhen, CAO Jing-Qing, HAN Da-Ying

(Department of Cardiovascular Physiology, Capital University of Medical Sciences, Beijing 100054, China)

Abstract: The effects of Ni^{2+} on contractions and slow action potentials were studied by using micro-force transducer and microelectrode methods *in vitro* in guinea pig ventricular myocardium. The results showed: ① $0.05 \text{ mmol} \cdot \text{L}^{-1}$ NiCl_2 produced a positive chronotropic effect, but in the high concentrations (0.1 – $1.0 \text{ mmol} \cdot \text{L}^{-1}$) Ni^{2+} produced a dose-dependent negative chronotropic effect. ② $\text{NiCl}_2 0.5 \text{ mmol} \cdot \text{L}^{-1}$ inhibited post-rest potentiation and positive staircase phenomena (PSP), but didn't reverse PSP. ③ $\text{NiCl}_2 0.1$ – $1.0 \text{ mmol} \cdot \text{L}^{-1}$ reduced \dot{V}_{\max} and amplitude of

slow action potentials. ④ In high concentrations ($> 0.5 \text{ mmol} \cdot \text{L}^{-1}$), the effects of Ni^{2+} were strong and lasted long, and were more significant in active preparations. These results suggest that Ni^{2+} inhibit myocardial contraction by many ways as Ca^{2+} antagonist, and from the event that low concentration of Ni^{2+} potentiated myocardial contraction, there be different mechanisms of its effects on myocardial contraction.

Key words: nickel; myocardial contraction; action potentials

(本文编辑 董立春)